

BAB IV

HASIL PEMBAHASAN

4.1 Tinjauan Pustaka

Storm water atau *runoff* bisa di sebut limpasan air hujan adalah air hujan yang turun tidak terserap oleh tanah dan mengalir di permukaan tanah maupun bangunan yang kedap air (wikipedia).

Dalam memanage *storm water* berlebih perlu drainase yang memadai untuk pengeringan lahan agar tidak terjadinya genangan maupun banjir. Tentunya untuk menganalisis drainase perlu data intensitas hujan, maka perlu analisa hidrologi atau kajian hujan terlebih dahulu.

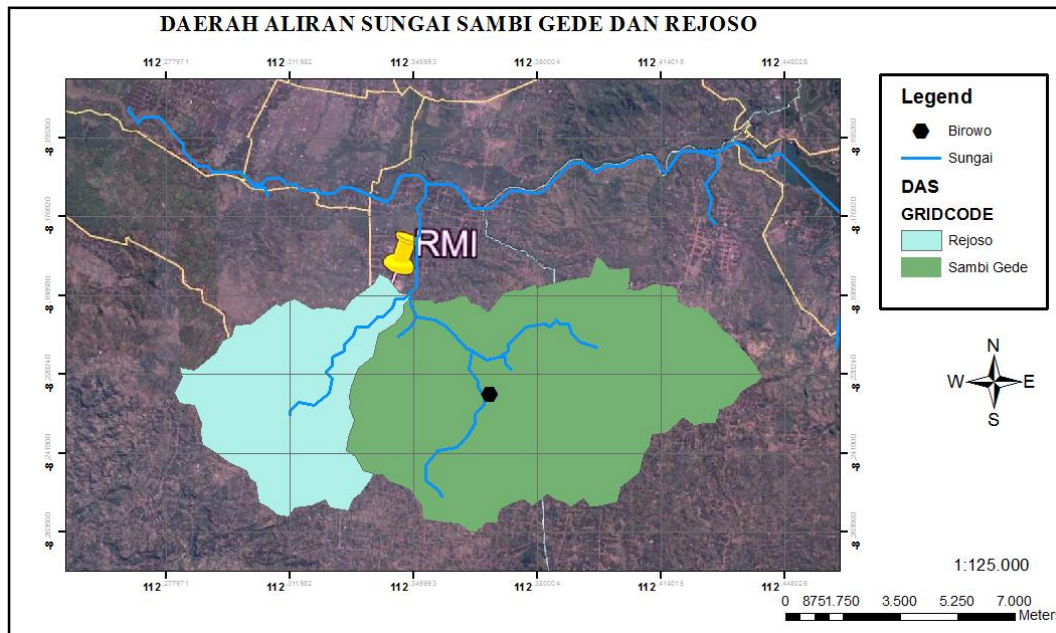
Penggunaan desain tipe dan bahan merupakan hal pertama untuk mengetahui kecepatan dan debit tiap saluran yang di alirkan, dalam hal ini penulis menggunakan penampang tipe persegi untuk saluran terbuka umum dan menggunakan tipe trapesium untuk saluran yang dianggap panjang dan daerah pengeringannya terbilang luas. Selebihnya penulis menggunakan saluran *box culvert* dan lingkaran/gorong-gorong untuk saluran tertutup dengan dimensi yang ditulis dalam tabel IV.12.

4.2 Analisa Hidrologi

Curah hujan merupakan jumlah air yang jatuh di permukaan tanah datar selama periode tertentu yang diukur dengan satuan kedalaman hujan (mm) di atas permukaan horizontal bila tidak terjadi evaporasi, runoff dan infiltrasi. Dalam menganalisa hidrologi maka perlu tahapan sebagai berikut ini.

4.2.1 Pemilihan Stasiun Hujan dan Data Curah Hujan

Dalam pemilihan stasiun hujan penulis menggunakan satu stasiun hujan terdekat dari lokasi studi yaitu stasiun hujan Birowo yang terletak di koordinat $8^{\circ}13'32.20''\text{LS}$ dan $112^{\circ}22'1.10''\text{BT}$ tepatnya di DAS Sambi gede. Dapat dilihat pada gambar IV.1



Gambar IV.1 Stasiun Hujan Birowo

Data curah hujan yang digunakan ialah data curah hujan maksimal tahunan dalam kurun sepuluh tahun terhitung dari tahun 2008-2017 yang di dapat dari balai PUSAIR Bandung. Data curah hujan tahunan yang terdapat pada tabel IV.1 dan di ilustrasikan dengan grafik pada gambar IV.2.

Tabel IV.2 Data perhitungan Distribusi Gauss

| No. | Tahun | No. Urut | X | Xurut | Tr (thn) |
|-----|-------|----------|--------|--------|----------|
| 1 | 2008 | 8 | 82,00 | 107,00 | 11,00 |
| 2 | 2009 | 10 | 71,00 | 96,00 | 5,50 |
| 3 | 2010 | 1 | 107,00 | 96,00 | 3,67 |
| 4 | 2011 | 4 | 95,00 | 95,00 | 2,75 |
| 5 | 2012 | 3 | 96,00 | 94,00 | 2,20 |
| 6 | 2013 | 6 | 93,00 | 93,00 | 1,83 |
| 7 | 2014 | 9 | 77,00 | 93,00 | 1,57 |
| 8 | 2015 | 5 | 94,00 | 82,00 | 1,38 |
| 9 | 2016 | 2 | 96,00 | 77,00 | 1,22 |
| 10 | 2017 | 7 | 93,00 | 71,00 | 1,10 |

| | | | |
|------------------|--|-----|-------|
| Jumlah data | | n | 10 |
| | | n̄ | |
| Nilai rata-rata | | X̄ | 90,40 |
| Standard deviasi | | Sx̄ | 10,61 |

*Sumber: Hasil Perhitungan***Tabel 4. 1 Hasil Perhitungan Distribusi Normal**

| Tr (tahun) | KTr | XTr (mm) | Peluang |
|------------|-------|----------|---------|
| 1 | -3,05 | 58,05 | 1,00 |
| 2 | 0,00 | 90,40 | 0,50 |
| 5 | 0,84 | 99,31 | 0,20 |
| 10 | 1,28 | 103,98 | 0,10 |
| 25 | 1,64 | 107,79 | 0,04 |
| 50 | 2,05 | 112,14 | 0,02 |
| 100 | 2,33 | 115,11 | 0,01 |

Sumber: Hasil Perhitungan

Sample perhitungan

$$X_{Tr} = \bar{X} + K_{Tr} \cdot S_x$$

$$X_{Tr} = 90,04 + (-3,05 \times 10,61)$$

$$X_{Tr} = 90,04 + (-32,3605)$$

$$X_{Tr} = 57,679 \text{ atau } 58,05$$

2. Distribusi Log Normal 2 parameter

a. Perhitungan Xtr

$$X_{Tr} = \bar{X} + K_{Tr} \cdot S_x \dots \dots \dots \dots \dots \dots \quad (4.3)$$

Keterangan:

X_{Tr} = Besarnya curah hujan yang terjadi dengan kala ulang T tahun

\bar{X} = Rata-rata hitung varian

S_x = Standard deviasi (rumus 4.1)

k = Faktor frekuensi (nilai variabel reduksi Gauss tabel II.1)

$$Cv = \frac{S_x}{\bar{X}}$$

Perhitungan

$$X_{Tr} = 90,40 + (-0,0580 \cdot 10,61)$$

$$X_{Tr} = 89,79$$

$$Cv = \frac{10,61}{90,41}$$

$$Cv = 0,117$$

Setelah mendapatkan nilai Cv maka nilai dari periode ulang dapat di interpolasi dengan nilai yang mendekati pada tabel IV.5 sehingga mendapatkan hasil analisa distribusi Xtr hujan log normal 2 parameter pada IV.3.

Tabel IV.3 Perhitungan Log Normal 2 Parameter

| No. | Tahun | No. Urut | X | X urut | Tr (thn) |
|-----|-------|----------|-------|--------|----------|
| 1 | 2008 | 8 | 82,0 | 107 | 11,00 |
| 2 | 2009 | 10 | 71,0 | 96 | 5,50 |
| 3 | 2010 | 1 | 107,0 | 96 | 3,67 |
| 4 | 2011 | 4 | 95,0 | 95 | 2,75 |
| 5 | 2012 | 3 | 96,0 | 94 | 2,20 |
| 6 | 2013 | 6 | 93,0 | 93 | 1,83 |
| 7 | 2014 | 9 | 77,0 | 93 | 1,57 |
| 8 | 2015 | 5 | 94,0 | 82 | 1,38 |
| 9 | 2016 | 2 | 96,0 | 77 | 1,22 |
| 10 | 2017 | 7 | 93,0 | 71 | 1,10 |

| | | |
|-------------------|----------------|-------|
| Jumlah data | n | 10 |
| Standar deviasi | S _x | 10,61 |
| Nilai rata-rata | \bar{X} | 90,40 |
| Koefisien Variasi | C _v | 0,117 |

| Tr (tahun) | K _{Tr} | X _{Tr} (mm) | Peluang |
|------------|-----------------|----------------------|---------|
| 2 | -0,0580 | 89,79 | 0,50 |
| 5 | 0,8175 | 99,07 | 0,20 |
| 10 | 1,3105 | 104,30 | 0,10 |
| 25 | 1,8207 | 109,71 | 0,04 |
| 50 | 2,2396 | 114,15 | 0,02 |
| 100 | 2,4490 | 116,37 | 0,01 |

*Sumber: Hasil Perhitungan***Tabel IV.4 Interpolasi Cv**

| CV | 2 | 5 | 10 | 20 | 25 | 50 | 100 |
|-------|---------|--------|--------|--------|--------|--------|--------|
| 0,1 | -0,0496 | 0,8222 | 1,3078 | 1,7247 | 1,8061 | 2,2130 | 2,5489 |
| 0,117 | -0,0580 | 0,8175 | 1,3105 | 1,7369 | 1,8207 | 2,2396 | 2,4490 |
| 0,15 | -0,0738 | 0,8085 | 1,3156 | 1,7598 | 1,8482 | 2,2899 | 2,2607 |

Sumber: Hasil Perhitungan

Tabel IV 5 Nilai variasi Coef. Normal 2 parameter

| Variasi Coef. | RETURN PERIODE(YEAR) | | | | | | |
|------------------|------------------------|--------|--------|--------|--------|--------|--------|
| | 2 | 5 | 10 | 20 | 25 | 50 | 100 |
| CV | EXCEEDENCE PROBABILITY | | | | | | |
| | 0,500 | 0,200 | 0,100 | 0,050 | 0,040 | 0,020 | 0,010 |
| 0,05 | -0,0250 | 0,8334 | 1,2965 | 1,6863 | 1,7609 | 2,1341 | 2,4570 |
| 0,10 | -0,0496 | 0,8222 | 1,3078 | 1,7247 | 1,8061 | 2,2130 | 2,5489 |
| 0,15 | -0,0738 | 0,8085 | 1,3156 | 1,7598 | 1,8482 | 2,2899 | 2,2607 |
| 0,20 | -0,0971 | 0,7926 | 1,3200 | 1,7911 | 1,8866 | 2,3640 | 2,7716 |
| 0,25 | -0,1194 | 0,7746 | 1,3209 | 1,8183 | 1,9206 | 2,4318 | 2,8805 |
| 0,30 | -0,1406 | 0,7647 | 1,3183 | 1,8414 | 1,9514 | 2,5015 | 2,9866 |
| 0,35 | -0,1604 | 0,7333 | 1,3126 | 1,8602 | 1,9775 | 2,5638 | 3,0890 |
| 0,40 | -0,1788 | 0,7100 | 1,3037 | 1,8746 | 1,9990 | 2,6212 | 3,1870 |
| 0,45 | -0,1957 | 0,6870 | 1,2920 | 1,8848 | 2,0162 | 2,6731 | 3,2799 |
| 0,50 | -0,2111 | 0,6626 | 1,2778 | 1,8909 | 2,0291 | 2,7202 | 3,367. |
| 0,55 | -0,2251 | 0,6379 | 1,2613 | 1,8931 | 2,0378 | 2,7613 | 3,4488 |
| 0,60 | -0,2375 | 0,6129 | 1,2428 | 1,8915 | 2,1475 | 2,7971 | 3,5211 |
| 0,65 | -0,2185 | 0,5879 | 1,2226 | 1,8866 | 2,0435 | 2,8279 | 3,3930 |
| 0,70 | -0,2582 | 0,5631 | 1,2011 | 1,8786 | 2,0410 | 2,8532 | 3,3663 |
| 0,75 | -0,2667 | 0,5387 | 1,1784 | 1,8677 | 2,0353 | 2,8735 | 3,7118 |
| 0,80 | -0,2739 | 0,5118 | 1,1548 | 1,8543 | 2,0268 | 2,8891 | 3,7617 |
| 0,85 | -0,2801 | 0,4914 | 1,1306 | 1,8388 | 2,0157 | 2,9002 | 3,8056 |
| 0,90 | -0,2852 | 0,4686 | 1,1060 | 1,8212 | 2,0012 | 2,9010 | 3,8137 |
| 0,95 | -0,2895 | 0,4466 | 1,0810 | 1,8021 | 1,9868 | 2,9103 | 3,8762 |
| 1,00 | -0,2929 | 0,4254 | 1,0560 | 1,7815 | 1,9681 | 2,9010 | 3,9035 |

Sumber: Hidrologi terapan, Suripin

3. Distribusi Log Normal 3 parameter

Perbedaan log normal 2 parameter dengan log normal 3 parameter ialah nilai koefisien (Cs) tabel IV.7.

Rumus Perhitungan nilai hujan (Xtr) sebagai berikut.

$$X_{Tr} = \bar{X} + K_{Tr} \cdot S_x \dots \dots \dots \dots \dots \dots \dots \quad (4.3)$$

Keterangan:

X_{Tr} = Besarnya curah hujan yang terjadi dengan kala ulang T tahun

\bar{X} = Rata-rata hitung varian

S_x = Standard deviasi (rumus 4.1)

k = Faktor frekuensi (nilai variabel reduksi Gauss tabel II.1)

Sample perhitungan Xtr sebagai berikut.

$$X_{Tr} = 90,40 + 0,0966 \times 10,61$$

$$X_{Tr} = 91,42$$

$$Cs = \frac{\sum_{i=1}^n (Xi - \bar{X})^3}{(n-1) \times (n-2) \times S^3}$$

Keterangan:

Cs = Koef. Skewness

S = standar deviasi

\bar{X} = curah hujan rata-rata (mm)

X_i = curah hujan di stasiun ke i (mm)

Tabel IV.6 Perhitungan Log Normal

| No. | Tahun | No. Urut | X | X urut | Tr (thn) |
|-----|-------|----------|--------|--------|----------|
| 1 | 2008 | 8 | 82,00 | 107,00 | 11,00 |
| 2 | 2009 | 10 | 71,00 | 96,00 | 5,50 |
| 3 | 2010 | 1 | 107,00 | 96,00 | 3,67 |
| 4 | 2011 | 4 | 95,00 | 95,00 | 2,75 |
| 5 | 2012 | 2 | 96,00 | 94,00 | 2,20 |
| 6 | 2013 | 6 | 93,00 | 93,00 | 1,83 |
| 7 | 2014 | 9 | 77,00 | 93,00 | 1,57 |
| 8 | 2015 | 5 | 94,00 | 82,00 | 1,38 |
| 9 | 2016 | 2 | 96,00 | 77,00 | 1,22 |
| 10 | 2017 | 6 | 93,00 | 71,00 | 1,10 |

| | | |
|--------------------------|----------------|--------|
| Jumlah data | n | 10 |
| Standar deviasi "X" | S _X | 10,61 |
| Nilai rata-rata "X" | X | 90,40 |
| Koefisien kemencengangan | C _S | -0,605 |

| Tr (tahun) | K _{Tr} | X _{Tr} (mm) | Peluang |
|------------|-----------------|----------------------|---------|
| 2 | 0,0966 | 91,42 | 0,50 |
| 5 | -0,7924 | 82,00 | 0,20 |
| 10 | -0,3436 | 86,76 | 0,10 |
| 25 | -1,8855 | 70,40 | 0,04 |
| 50 | -2,3622 | 65,35 | 0,02 |
| 100 | -2,7698 | 61,02 | 0,01 |

Sumber: Hasil Perhitungan

Tabel IV.7 Nilai Coef. Skewness

| Skew Coef. | RETURN PERIODE(YEAR) | | | | | | |
|------------|------------------------|---------|---------|---------|---------|---------|---------|
| | 2 | 5 | 10 | 20 | 25 | 50 | 100 |
| Cs' | EXCEEDENCE PROBABILITY | | | | | | |
| | 0,500 | 0,200 | 0,100 | 0,050 | 0,040 | 0,020 | 0,010 |
| -2,0 | 0,2366 | -0,6144 | -1,2437 | -1,8916 | -2,0421 | -2,7943 | -3,5196 |
| -1,8 | 0,2240 | -0,6395 | -1,2621 | -1,8928 | -2,0370 | -2,7578 | -3,4433 |
| -1,6 | 0,2092 | -0,6654 | -1,2792 | -1,8901 | -2,0274 | -2,7138 | -3,3570 |
| -1,4 | 0,1920 | -0,6920 | -1,2943 | -1,8827 | -2,0125 | -2,6615 | -3,2601 |
| -1,2 | 0,1722 | -0,7186 | -1,3067 | -1,8696 | -1,9914 | -2,6002 | -3,1521 |
| -1,0 | 0,1495 | -0,7449 | -1,3156 | -1,8501 | -1,9633 | -2,5294 | -3,0333 |
| -0,8 | 0,1241 | -0,7700 | -1,3201 | -1,8235 | -1,9278 | -2,4492 | -2,9043 |
| -0,6 | 0,0959 | -0,7930 | -0,3194 | -1,7894 | -1,8845 | -2,3600 | -2,7665 |
| -0,4 | 0,0654 | -0,8131 | -0,3128 | -1,7478 | -1,8337 | -2,2631 | -2,6223 |
| -0,2 | 0,0332 | -0,8296 | -0,3002 | -1,6993 | -1,7761 | -2,1602 | -2,4745 |
| 0,0 | 0,0000 | 0,0000 | 0,0000 | 0,0000 | 0,0000 | 0,0000 | 0,0000 |
| 0,2 | -0,0332 | 0,8996 | 0,3002 | 1,6993 | 1,7761 | 2,1602 | 2,4745 |
| 0,4 | -0,0654 | 0,8131 | 0,3128 | 1,7478 | 1,8337 | 2,2631 | 2,6223 |
| 0,6 | -0,0950 | 0,7930 | 0,3194 | 1,7894 | 1,8845 | 2,3600 | 2,7665 |
| 0,8 | -0,1241 | 0,7700 | 1,3201 | 1,8235 | 1,9278 | 2,4492 | 2,9043 |
| 1,0 | -0,1495 | 0,7449 | 1,3156 | 1,8501 | 1,9633 | 2,5294 | 3,0333 |
| 1,2 | -0,1722 | 0,7186 | 1,3067 | 1,8696 | 1,9914 | 2,6002 | 3,1521 |
| 1,4 | -0,1920 | 0,6920 | 1,2943 | 1,8827 | 2,0125 | 2,6615 | 3,2601 |
| 1,6 | -0,2092 | 0,6654 | 1,2792 | 1,8901 | 2,0274 | 2,7138 | 3,3570 |
| 1,8 | -0,2240 | 0,6395 | 0,2621 | 1,8928 | 2,0370 | 2,7578 | 3,4433 |
| 2,0 | -0,2366 | 0,6144 | 1,2437 | 1,8916 | 2,0421 | 2,7943 | 3,5196 |

Sumber: *Hidrologi terapan, Suripin*

b. Distribusi Gumbell

$$X_T = \bar{X} + k \cdot S_x \dots \dots \dots \dots \quad (4.4)$$

Keterangan:

XT = besarnya curah hujan yang terjadi dengan kala ulang T tahun

\bar{X} = rata-rata X maksimum

S_x = Standar Deviasi (rumus)

k = faktor frekuensi

$$k = \frac{Y_t - Y_n}{S_n}$$

Y_n, S_n = besaran yang mempunyai fungsi dari jumlah pengamatan

Y_t = reduksi sebagai fungsi dari probabilitas

t = jumlah tahun kala ulang

Perhitungan :

$$k = \frac{0,3666 - 0,4952}{0,9496}$$

$$k = -0,13605$$

$$X_{Tr} = 90,40 + (-0,13605) \cdot 10,61$$

$$X_{Tr} = 88,957$$

Tabel IV.8 Hasil Perhitungan perhitungan Distribusi Gumbell

| No. | Tahun | X | $(X_i - \bar{X})^2$ | X urut | Tr (tahun) |
|-----|-------|--------|---------------------|--------|------------|
| 1 | 2008 | 82,00 | 70,56 | 107,00 | 11,00 |
| 2 | 2009 | 71,00 | 376,36 | 96,00 | 5,50 |
| 3 | 2010 | 107,00 | 275,56 | 96,00 | 3,67 |
| 4 | 2011 | 95,00 | 21,16 | 95,00 | 2,75 |
| 5 | 2012 | 96,00 | 31,36 | 94,00 | 2,20 |
| 6 | 2013 | 93,00 | 6,76 | 93,00 | 1,83 |
| 7 | 2014 | 77,00 | 179,56 | 93,00 | 1,57 |
| 8 | 2015 | 94,00 | 12,96 | 82,00 | 1,38 |
| 9 | 2016 | 96,00 | 31,36 | 77,00 | 1,22 |
| 10 | 2017 | 93,00 | 6,76 | 71,00 | 1,10 |

| | | |
|--------------------------------------|--|---------|
| Jumlah data yang dipergunakan | n | 10 |
| Jumlah nilai data | ΣX | 904,00 |
| Nilai rata-rata | \bar{X} | 90,40 |
| Jumlah selisih dengan mean pangkat 2 | $\Sigma (X_i - \bar{X})^2$ | 1012,40 |
| Standard deviasi | S_x | 10,61 |
| Koefisien y_n (reduced mean) | Y_n | 0,4952 |
| Koefisien s_n (reduced S_d) | S_n | 0,9496 |

| Tr (tahun) | Y_{Tr} | X_{Tr} (mm) | Peluang |
|------------|----------|---------------|---------|
| 2 | 0,3665 | 88,96 | 0,50 |
| 5 | 1,4999 | 101,62 | 0,20 |
| 10 | 2,2504 | 110,00 | 0,10 |
| 25 | 3,1985 | 120,59 | 0,04 |
| 50 | 3,9019 | 128,45 | 0,02 |
| 100 | 4,6001 | 136,25 | 0,01 |

Sumber: Hasil Perhitungan

Tabel IV.9 Harga Yn & Sn Metode Gumbell

| Sampel | Yn | Sn | | Sampel | Yn | Sn |
|--------|--------|--------|--|--------|--------|--------|
| 10 | 0,4952 | 0,9496 | | 42 | 0,5448 | 1,1458 |
| 11 | 0,4996 | 0,9676 | | 43 | 0,5453 | 1,148 |
| 12 | 0,5035 | 0,9833 | | 44 | 0,5458 | 1,1499 |
| 13 | 0,507 | 0,9971 | | 45 | 0,5463 | 1,1519 |
| 14 | 0,51 | 1,0095 | | 46 | 0,5468 | 1,1538 |
| 15 | 0,5128 | 1,0206 | | 47 | 0,5473 | 1,1557 |
| 16 | 0,5157 | 1,0316 | | 48 | 0,5477 | 1,1574 |
| 17 | 0,5181 | 1,0411 | | 49 | 0,5481 | 1,159 |
| 18 | 0,5202 | 1,0493 | | 50 | 0,5485 | 1,1607 |
| 19 | 0,522 | 1,0565 | | 51 | 0,5489 | 1,1623 |
| 20 | 0,5236 | 1,0628 | | 52 | 0,5493 | 1,1638 |
| 21 | 0,5252 | 1,0696 | | 53 | 0,5497 | 1,1658 |
| 22 | 0,5268 | 1,0754 | | 54 | 0,5501 | 1,1667 |
| 23 | 0,5283 | 1,0811 | | 55 | 0,5504 | 1,1681 |
| 24 | 0,5296 | 1,0864 | | 42 | 0,5448 | 1,1458 |
| 25 | 0,5309 | 1,0915 | | 43 | 0,5453 | 1,148 |
| 26 | 0,532 | 1,0861 | | 44 | 0,5458 | 1,1499 |
| 27 | 0,5332 | 1,1004 | | 45 | 0,5463 | 1,1519 |
| 28 | 0,5343 | 1,1047 | | 46 | 0,5468 | 1,1538 |
| 29 | 0,5353 | 1,1086 | | 47 | 0,5473 | 1,1557 |
| 30 | 0,5362 | 1,1124 | | 48 | 0,5477 | 1,1574 |
| 31 | 0,5371 | 1,1159 | | 49 | 0,5481 | 1,159 |
| 32 | 0,538 | 1,1193 | | 50 | 0,5485 | 1,1607 |
| 33 | 0,5388 | 1,1226 | | 51 | 0,5489 | 1,1623 |
| 34 | 0,5396 | 1,1255 | | 52 | 0,5493 | 1,1638 |
| 35 | 0,5402 | 1,1287 | | 53 | 0,5497 | 1,1658 |
| 36 | 0,541 | 1,1313 | | 54 | 0,5501 | 1,1667 |
| 37 | 0,5418 | 1,1339 | | 55 | 0,5504 | 1,1681 |
| 38 | 0,5424 | 1,1363 | | | | |
| 39 | 0,543 | 1,1388 | | | | |
| 40 | 0,5436 | 1,1413 | | | | |
| 41 | 0,5442 | 1,1436 | | | | |

Sumber <https://mtnugraha.files.wordpress.com>

c. Distribusi Pearson Type III

$$X_T = \bar{X} + k \cdot S_x \dots \dots \dots \dots \dots \dots \quad (4.5)$$

Keterangan:

X_{Tr} = Besarnya curah hujan yang terjadi dengan kala ulang T tahun

\bar{X} = Rata-rata hitung varian

S_x = Standard deviasi (rumus 4.1)

k = Faktor frekuensi (nilai variabel reduksi Gauss tabel II.1)

Contoh Perhitungan :

$$X_{Tr} = 90,4 + 0,1 \times 10,61$$

$$X_{Tr} = 91,46$$

Tabel IV.10 Perhitungan Pearson Type III

| No. | Tahun | X | $(X_i - \bar{X})^3$ |
|-------------------------------|-----------------|----------------------|---------------------|
| 1 | 2008 | 82,00 | -593 |
| 2 | 2009 | 71,00 | -7.301 |
| 3 | 2010 | 107,00 | 4.574 |
| 4 | 2011 | 95,00 | 97 |
| 5 | 2012 | 96,00 | 176 |
| 6 | 2013 | 93,00 | 18 |
| 7 | 2014 | 77,00 | -2.406 |
| 8 | 2015 | 94,00 | 47 |
| 9 | 2016 | 96,00 | 176 |
| 10 | 2017 | 93,00 | 18 |
| Jumlah data yang dipergunakan | | n | 10 |
| Jumlah nilai data | | ΣX | 904,00 |
| Nilai rata-rata | | \bar{X} | 90,40 |
| Standard deviasi | | S_x | 10,61 |
| koefisien kemencengan | | C_s | -0,605 |
| Tr (tahun) | K _{tr} | X _{tr} (mm) | Peluang |
| 2 | 0,100 | 91,46 | 0,50 |
| 5 | 0,857 | 99,49 | 0,20 |
| 10 | 1,199 | 103,12 | 0,10 |
| 25 | 1,526 | 106,59 | 0,04 |
| 50 | 1,717 | 108,61 | 0,02 |
| 100 | 1,876 | 110,30 | 0,01 |

Sumber: Hasil Perhitungan

d. Distribusi Log Pearson Type III

$$\log X = \log \bar{X} + k \cdot S_{\log X} \dots \dots \dots \dots \dots \quad (4.6)$$

$$\log \bar{X} = \frac{\sum \log X}{n}$$

$$S_{\log X} = \sqrt{\frac{\sum (\log X - \log \bar{X})^2}{n-1}}$$

Keterangan :

| | | | |
|--------------|----------------------------------|-------|-------------------------------|
| $\log x$ | = logaritma rata-rata | X_T | = besarnya curah hujan dengan |
| $S_{\log X}$ | = standar deviasi dari logaritma | | kala ulang T tahun |
| k | = faktor frekwensi (tabel II.1) | X | = rata-rata hutingan varian |
| N | = jumlah data | S_x | = Standar deviasi |

$$\log \bar{X} = \frac{\sum \log X}{n}$$

$$\begin{aligned}\log \bar{X} &= \frac{19.533}{10} = \\ &= 1.9533\end{aligned}$$

$$\log X = 1.953 + 0.139 \times 0,053$$

$$\log X = 1.9607$$

Tabel IV.11 Data Perhitungan Log Pearson Type III

| No. | Tahun | X | log X | $(\log X_1 - \bar{\log X})^2$ | $(\log X_1 - \bar{\log X})^3$ |
|-----|-------|--------|--------|-------------------------------|-------------------------------|
| 1 | 2008 | 82,00 | 1,9138 | 0,00156 | -0,00006 |
| 2 | 2009 | 71,00 | 1,8513 | 0,01042 | -0,00106 |
| 3 | 2010 | 107,00 | 2,0294 | 0,00578 | 0,00044 |
| 4 | 2011 | 95,00 | 1,9777 | 0,00060 | 0,00001 |
| 5 | 2012 | 96,00 | 1,9823 | 0,00084 | 0,00002 |
| 6 | 2013 | 93,00 | 1,9685 | 0,00023 | 0,00000 |
| 7 | 2014 | 77,00 | 1,8865 | 0,00447 | -0,00030 |
| 8 | 2015 | 94,00 | 1,9731 | 0,00039 | 0,00001 |
| 9 | 2016 | 96,00 | 1,9823 | 0,00084 | 0,00002 |
| 10 | 2017 | 93,00 | 1,9685 | 0,00023 | 0,00000 |

| | | |
|--------------------------------------|--------------------------------------|--------|
| Jumlah data yang dipergunakan | n | 10 |
| Jumlah nilai 'log X' | $\Sigma \log X$ | 19,533 |
| Nilai rata-rata 'log X' (mean) | $\bar{\log X}$ | 1,953 |
| Jumlah selisih dengan mean pangkat 2 | $\Sigma (\log X_1 - \bar{\log X})^2$ | 0,025 |
| Standard deviasi 'log X' | $S_{\log X}$ | 0,053 |
| Jumlah selisih dengan mean pangkat 3 | $\Sigma (\log X_1 - \bar{\log X})^3$ | -0,001 |
| koefisien kemencengan | C_s | -0,842 |

| Tr (tahun) | K _{Tr} | log X _{Tr} | X _{Tr} (mm) |
|------------|-----------------|---------------------|----------------------|
| 2 | 0,139 | 1,9607 | 91,35 |
| 5 | 0,855 | 1,9987 | 99,70 |
| 10 | 1,157 | 2,0148 | 103,46 |
| 25 | 1,431 | 2,0293 | 106,97 |
| 50 | 1,582 | 2,0373 | 108,97 |
| 100 | 1,703 | 2,0437 | 110,58 |

Sumber: Hasil Perhitungan

Tabel IV 12 Interpolasi Cs Log Pearson III

| Cs | 2 | 5 | 10 | 25 | 50 | 100 | 200 |
|--------|-------|-------|-------|-------|-------|-------|-------|
| -0,7 | 0,116 | 0,857 | 1,183 | 1,488 | 1,663 | 1,806 | 1,926 |
| -0,842 | 0,139 | 0,855 | 1,157 | 1,431 | 1,582 | 1,703 | 1,801 |
| -0,9 | 0,148 | 0,854 | 1,147 | 1,407 | 1,549 | 1,660 | 1,749 |

Sumber: Hasil Perhitungan

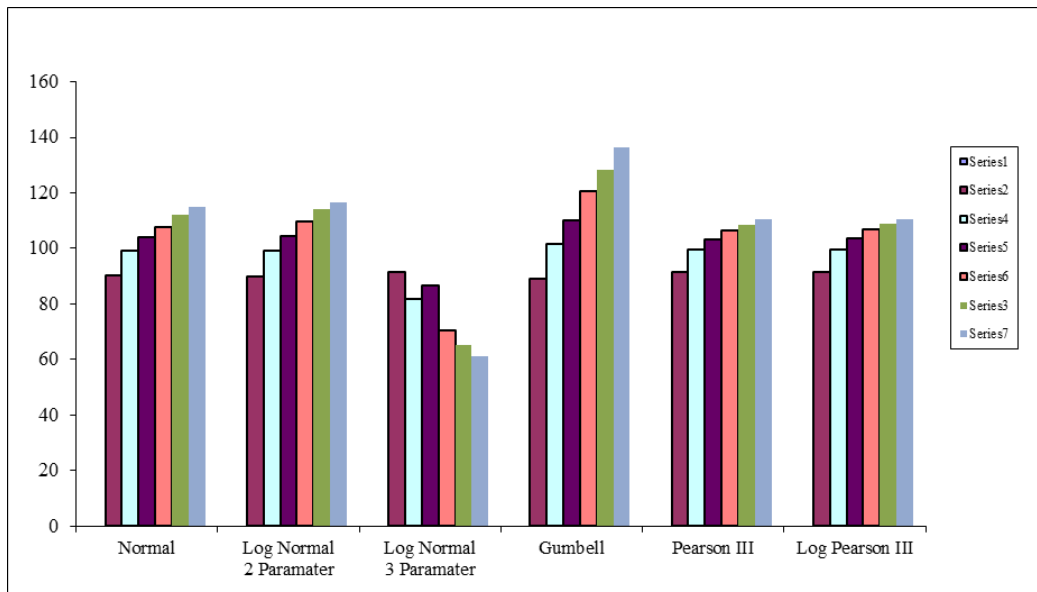
e. Resume

Dari perhitungan keenam metode distribusi frekwensi tersebut dapat disimpulkan hasil perhitungan nilai K_{Tr} dalam tabel IV.18 sebagai berikut ini.

Tabel IV.13 Resume Analisa Frekwensi Curah Hujan

| Periode Ulang | Analisa Frekuensi Curah Hujan Rencana (mm) | | | | | |
|---------------|--|------------------------|------------------------|---------|-------------|-----------------|
| | Normal | Log Normal 2 Paramater | Log Normal 3 Paramater | Gumbell | Pearson III | Log Pearson III |
| 2 | 90,40 | 89,79 | 91,42 | 88,96 | 91,46 | 91,35 |
| 5 | 99,31 | 99,07 | 82,00 | 101,62 | 99,49 | 99,70 |
| 10 | 103,98 | 104,30 | 86,76 | 110,00 | 103,12 | 103,46 |
| 25 | 107,79 | 109,71 | 70,40 | 120,59 | 106,59 | 106,97 |
| 50 | 112,14 | 114,15 | 65,35 | 128,45 | 108,61 | 108,97 |
| 100 | 115,11 | 116,37 | 61,02 | 136,25 | 110,30 | 110,58 |

Sumber: Hasil Perhitungan



Gambar IV. 3 Grafik Resume Analisa Frekwensi Hujan

f. Uji kesesuaian Smirnov-Kolmogorov

Uji kesesuaian smi Uji kecocokan Semirnov-Kolmogorov merupakan uji kecocokan non parametrik yang bertujuan membandingkan nilai rasio aktual dengan rencana dengan nilai kritis kecocokan 1% - 20%, nilai kritis mirnov dapat dilihat pada tabel IV.3.

Tabel IV 14 Nilai Kritis Smirnov-Kolmogorov

| n | Nilai kritis Smirnov-Kolmogorov (a) | | | |
|------|-------------------------------------|---------------------------------|---------------------------------|---------------------------------|
| | 0,2 | 0,1 | 0,05 | 0,01 |
| 5 | 0,45 | 0,51 | 0,56 | 0,67 |
| 10 | 0,32 | 0,37 | 0,41 | 0,49 |
| 15 | 0,27 | 0,30 | 0,34 | 0,40 |
| 20 | 0,23 | 0,26 | 0,29 | 0,36 |
| 25 | 0,21 | 0,24 | 0,27 | 0,32 |
| 30 | 0,19 | 0,22 | 0,24 | 0,29 |
| 35 | 0,18 | 0,20 | 0,23 | 0,27 |
| 40 | 0,17 | 0,19 | 0,21 | 0,25 |
| 45 | 0,16 | 0,18 | 0,20 | 0,24 |
| 50 | 0,15 | 0,17 | 0,19 | 0,23 |
| n>50 | <u>1,07</u> n ^{0.5} | <u>1,22</u> n ^{0.5} | <u>1,36</u> n ^{0.5} | <u>1,63</u> n ^{0.5} |

*Sumber: Soewarno, 1995***Tabel IV.15 Resume hasil uji kecocokan Smirnov-Kolmogorov**

| No. | Selisih Untuk Nilai Kritis 5 % | | | | | |
|---------------|--------------------------------|---------------------------|---------------------------|----------|-------------|-----------------|
| | Normal | Log Normal 2 Paramater | Log Normal 3 Paramater | Gumbell | Pearson III | Log Pearson III |
| 1 | 2,77 | 3,44 | 28,58 | 4,12 | 5,41 | 5,45 |
| 2 | 3,78 | 2,87 | 11,98 | 6,81 | 2,71 | 2,70 |
| 3 | 0,71 | 0,12 | 8,70 | 1,65 | 1,03 | 1,07 |
| 4 | 1,09 | 0,83 | 5,38 | 1,26 | 0,84 | 0,93 |
| 5 | 2,54 | 1,34 | 2,58 | 3,54 | 0,91 | 1,05 |
| 6 | 3,94 | 1,57 | 0,11 | 5,48 | 1,15 | 1,34 |
| 7 | 6,43 | 2,62 | 1,14 | 8,26 | 0,51 | 0,75 |
| 8 | 2,01 | 7,48 | 13,22 | 0,06 | 10,96 | 11,24 |
| 9 | 3,56 | 11,68 | 19,17 | 1,91 | 15,47 | 15,79 |
| 10 | 5,19 | 16,97 | 26,02 | 4,10 | 21,03 | 21,38 |
| Selisih Maks | 6,43 | 16,97 | 28,58 | 8,26 | 21,03 | 21,38 |
| Uji Kecocokan | | | 41,00 | | | |
| Korelasi | Diterima | Diterima | Diterima | Diterima | Diterima | Diterima |

Sumber: Hasil Perhitungan

4.2.3 Intensitas Hujan

Intensitas curah hujan adalah ketinggian curah hujan yang terjadi pada suatu kurun waktu di mana air tersebut terkonsentrasi (Joesron Loebis, 1992) intensitas hujan dapat di perhitungkan dengan rumus dari Dr.Mononobe sebagai berikut.

$$R_t = \frac{R_{24}}{24} \left[\frac{24}{t} \right]^{2/3} \dots \quad (4.7)$$

Keterangan:

R_{24} = Curah hujan efektif dalam 1 hari

t = Lama waktu konsentrasi dalam (jam)

R_t = intensitas hujan rata-rata dalam T jam (mm/jam)

T = waktu mulai hujan

Sample perhitungan

Diketahui : $R_{24}= 88,96$

$$R_{24} = \frac{90,4}{24} \left[\frac{24}{1} \right]^{\frac{2}{3}}$$

$$R_{24} = 3,76 \times 8,3$$

$$R_{24} = 31,34 \text{ mm/jam}$$

Dari hasil perhitungan T dalam jam dan dalam periode ulang dari 5, 10, 25, 50 dan 100 tahun, maka dapat di tampilkan dalam tabel IV.16

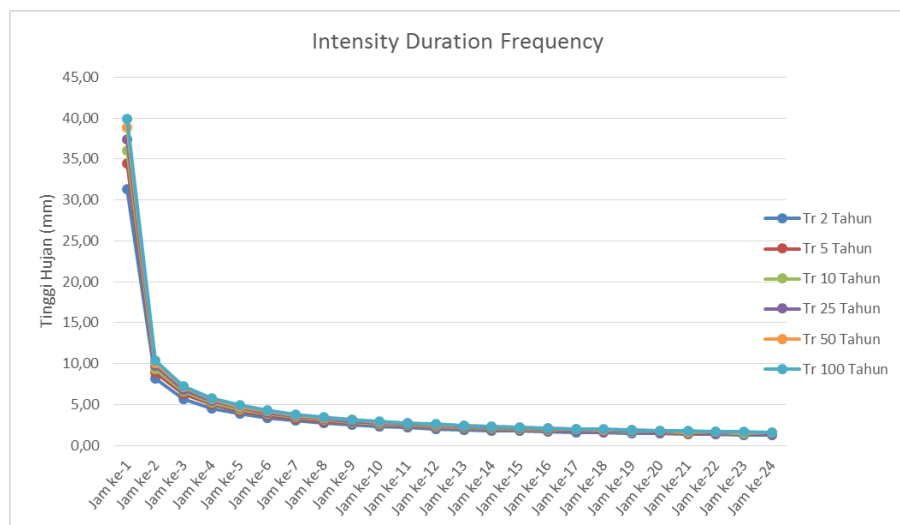
Tabel IV.16 Hasil Perhitungan Intensitas Hujan Harian Per Jam

| Waktu (Jam) | Periode Ulang | | | | | |
|----------------|---------------|---------|----------|----------|----------|-----------|
| | 2 Tahun | 5 Tahun | 10 Tahun | 25 Tahun | 50 Tahun | 100 Tahun |
| Jam ke-1 | 31,34 | 34,43 | 36,05 | 37,37 | 38,88 | 39,91 |
| Jam ke-2 | 8,15 | 8,95 | 9,37 | 9,71 | 10,11 | 10,37 |
| Jam ke-3 | 5,71 | 6,28 | 6,57 | 6,81 | 7,09 | 7,28 |
| Jam ke-4 | 4,55 | 5,00 | 5,23 | 5,42 | 5,64 | 5,79 |
| Jam ke-5 | 3,84 | 4,22 | 4,42 | 4,58 | 4,77 | 4,89 |
| Jam ke-6 | 3,36 | 3,69 | 3,86 | 4,00 | 4,17 | 4,28 |
| Jam ke-7 | 3,00 | 3,30 | 3,45 | 3,58 | 3,72 | 3,82 |
| Jam ke-8 | 2,73 | 3,00 | 3,14 | 3,25 | 3,39 | 3,47 |
| Jam ke-9 | 2,51 | 2,76 | 2,89 | 2,99 | 3,11 | 3,20 |
| Jam ke-10 | 2,33 | 2,56 | 2,68 | 2,78 | 2,89 | 2,97 |
| Jam ke-11 | 2,18 | 2,39 | 2,51 | 2,60 | 2,70 | 2,78 |
| Jam ke-12 | 2,05 | 2,25 | 2,36 | 2,45 | 2,54 | 2,61 |
| Jam ke-13 | 1,94 | 2,13 | 2,23 | 2,31 | 2,41 | 2,47 |
| Jam ke-14 | 1,84 | 2,02 | 2,12 | 2,20 | 2,29 | 2,35 |
| Jam ke-15 | 1,76 | 1,93 | 2,02 | 2,10 | 2,18 | 2,24 |
| Jam ke-16 | 1,68 | 1,85 | 1,93 | 2,00 | 2,09 | 2,14 |
| Jam ke-17 | 1,61 | 1,77 | 1,85 | 1,92 | 2,00 | 2,05 |
| Jam ke-18 | 1,55 | 1,70 | 1,78 | 1,85 | 1,92 | 1,97 |
| Jam ke-19 | 1,49 | 1,64 | 1,72 | 1,78 | 1,85 | 1,90 |

| Waktu (Jam) | Periode Ulang | | | | | |
|----------------|---------------|---------|----------|----------|----------|-----------|
| | 2 Tahun | 5 Tahun | 10 Tahun | 25 Tahun | 50 Tahun | 100 Tahun |
| Jam ke-21 | 1,39 | 1,53 | 1,60 | 1,66 | 1,73 | 1,78 |
| Jam ke-22 | 1,35 | 1,48 | 1,55 | 1,61 | 1,68 | 1,72 |
| Jam ke-23 | 1,31 | 1,44 | 1,51 | 1,56 | 1,63 | 1,67 |
| Jam ke-24 | 1,27 | 1,40 | 1,46 | 1,52 | 1,58 | 1,62 |

Sumber: Hasil perhitungan

Dari hasil perhitungan dapat dibuat kurva berupa kurva *Intensity Duration frequency* sebagai berikut ini.



Gambar IV. 4 Kurva IDF

Sumber: Hasil Perhitungan

Setelah diketahui bahwa intensitas hujan ekstrem dalam periode ulang tertentu dapat diklasifikasikan bahwa cerah hujan di sekitar stasiun pengamatan hujan Birowo termasuk lebat, dalam parameter Curah Hujan menurut Kohnke Bertand, 1959

Tabel IV.17 Klasifikasi Hujan

| Intensitas Hujan (mm/jam) | Klasifikasi |
|---------------------------|--------------|
| <6.25 | Kecil |
| 6.26-12.50 | Sedang |
| 12.51-50.00 | Lebat |
| >50.00 | Sangat Lebat |

(Sumber : Arsyad, 2000)

4.3 Debit Banjir

Debit banjir adalah genangan air pada permukaan tanah sampai melebihi batas ketinggian tertentu yang mengakibatkan kerugian (Soebarkah, 1980). Debit banjir rancangan adalah debit besar tahunan yang diperkirakan dengan suatu proses kemungkinan ulang yang tertentu (Martha dan Adidarma, 2000).

Dalam analisis debit banjir, penulis menggunakan perhitungan nakayasu karena dinilai cukup efektif dalam rencana debit banjir di indonesia. Perhitungan debit banjir di DAS Rejoso.

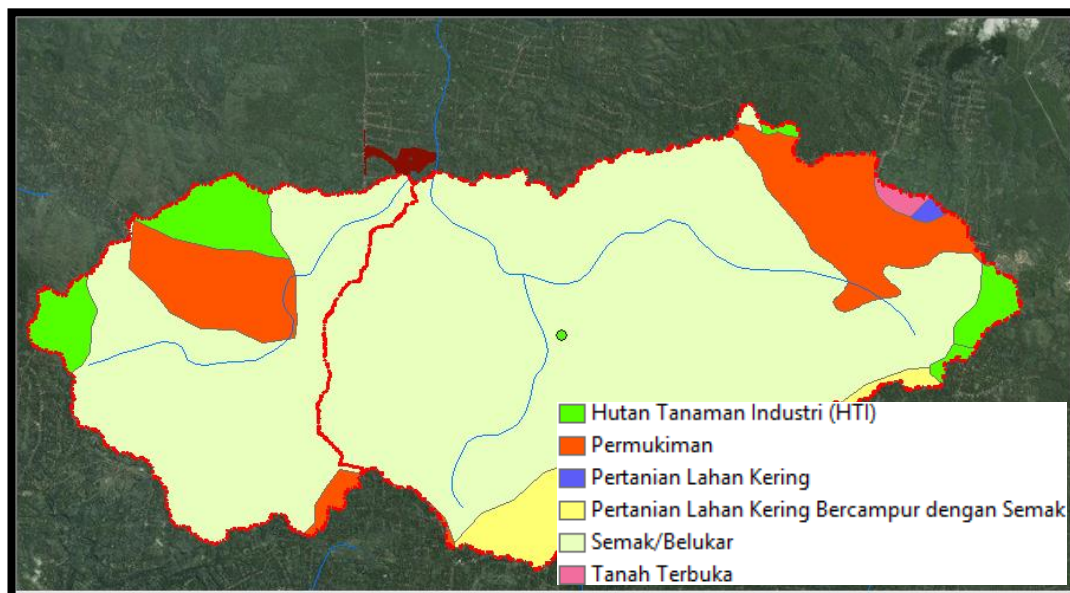
4.3.1 Tata Guna Lahan

Tata guna lahan yang di dapat dari peta Rupa Bumi Indonesia (RBI) merupakan pembagian wilayah-wilayah yang terbagi atas tutupan lahan baik vegetasi maupun bangunan. Untuk DAS Rejoso terdiri atas 3 jenis tutupan lahan yang terdiri dari Hutan kering, pemukiman dan semak belukar yang dapat dilihat pada gambar IV.5.

Daerah Aliran Sungai Rejoso

Luas DAS total : 26,8 Km²

Luas DAS sesuai *landuse* ialah sebagai berikut :



Gambar IV. 5 Tutupan lahan DAS Rejoso dan Das Sambi Gede

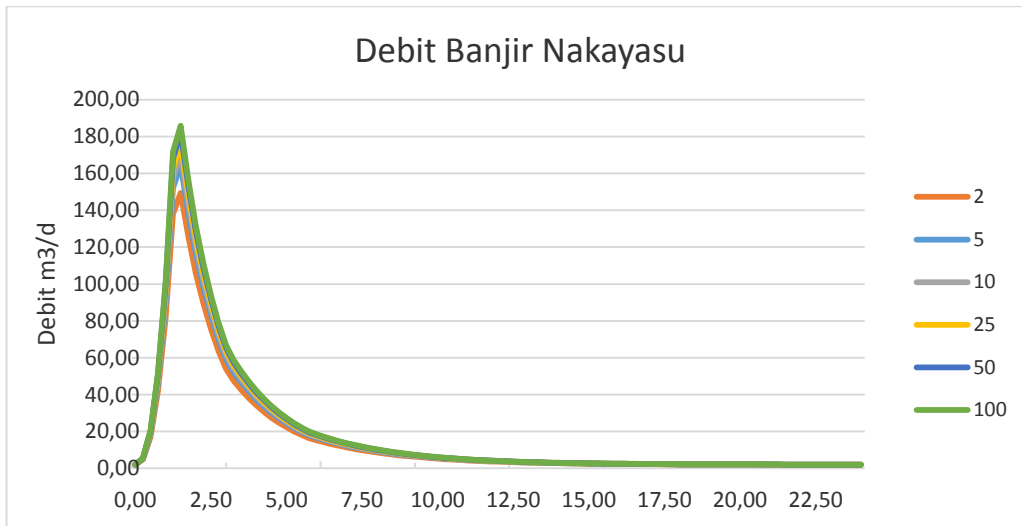
Sumber : Peta RBI

Tabel IV 19 Tabel Input Unit Hidrograf Sungai Rejoso Blitar

| No | Parameter Unit Hidrograf |
|----|---|
| 1 | Panjang sungai/saluran (L) |
| | L = 7,6 km |
| 2 | Luas DAS |
| | F _{DAS} = 26,8 km ² |
| 3 | Koef. Pengaliran DAS |
| | C _{wDAS} = 0,52 |
| 4 | Time tag (Tg) |
| | Tg = 0,9 jam |
| | Syarat : |
| | L < 15 km; Tg = 0,4 +0,058L |
| | L > 15 km; Tg = 0,21L ^{0,7} |
| 5 | Satuan waktu hujan (tr) |
| | tr = 0,608 jam |
| | Syarat : |
| | tr = 0,5 tg s.d 1,0 tg |
| 6 | Peak time (Tp) |
| | Tp = tg + 0,8.tr = 1,35 jam |
| 7 | Parameter hidrograf |
| | Parameter alfa (α) = 2 |
| | T _{0,3} = 1,737 |
| | 0,5T _{0,3} = 0,87 jam |
| | 1,5T _{0,3} = 2,61 jam |
| | 2,0T _{0,3} = 3,47 jam |
| 8 | Curah hujan spesifik (R ₀) |
| | R ₀ = 1 mm |
| 9 | Debit puncak |
| | Q _p = 176 m ³ /dt/mm |
| 10 | Base flow |
| | Q _b = 2,00 m ³ /dt/mm |

Sumber : Hasil Perhitungan

Setelah melalui perhitungan hidrograf nakayasu dengan periode ulang 2, 10, 25, 50 dan 100 tahun, maka mendapatkan hasil dengan kurva perbandingan debit banjir sebagai pada gambar IV.6, dan untuk peninjauan debit sungai hanya digunakan periode ulang 25 tahun sesuai dengan skala prioritas jangka panjang pada PERMEN PU No.12, 2014.



Gambar IV.6 Kurva Debir Banjir Nakayasu

Sumber : Hasil Perhitungan

Dari gambar IV.6 dapat diketahui debit puncak dan debit dasar banjir pada DAS Rejoso sebagai berikut.

Tabel IV.20 Debit dasar dan debit puncak

| No | Kala Ulang | Debit (m ³ /s) |
|----|------------|---------------------------|
| 1 | Base flow | 2 |
| 2 | Tr=2 th | 149 |
| 3 | Tr=5 th | 164,47 |
| 4 | Tr=10 th | 170,81 |
| 5 | Tr=25 th | 176,00 |
| 6 | Tr=50 th | 181,91 |
| 7 | Tr=100 th | 185,94 |

Sumber : Hasil Perhitungan

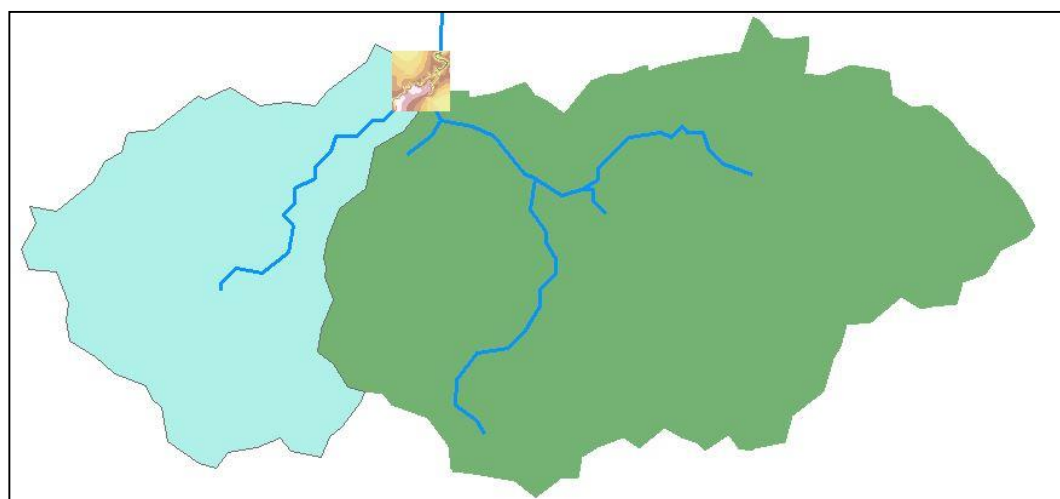
4.4 Analisis Sungai Rejoso Dengan Hec-Ras 5.0.6

4.6.1 Tinjauan umum

Analisis hidraulika pada sub bab ini bertujuan untuk mengetahui sebaran genangan banjir dan tinggi muka air banjir. Apabila terjadi di sungai dan dampak bagi drainase pabrik jika terjadi luapan air berlebih. Pada studi ini analisis ini penulis menggunakan software Hec-RAS 5.0.6 untuk memodelkan muka air aliran sungai Rejoso dilakukan dengan menggunakan debit banjir periode ulang 25 tahun pada DAS Rejoso yang di tinjau.

4.6.2 Tahapan Analisis

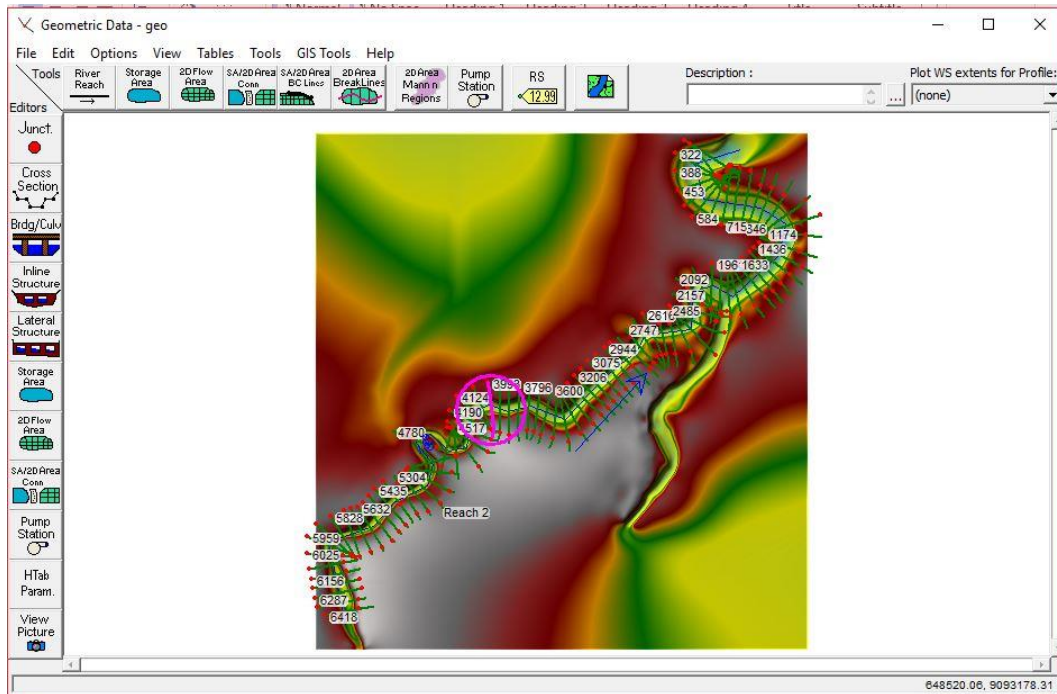
Input data yang perlukan untuk analisis sungai ialah data geometrik wilayah aliran sungai dan debit banjir kawasan yang telah di analisis terlebih dahulu. Data geometrik sungai dapat di unggang dengan format “dem” setelah itu proses data dem menjadi *raster* dengan bantuan *software arcgis* sehingga file dapat di *import* ke dalam hec-ras. *Cross section* dapat di atur dalam hecras untuk satu *reach* seperti pada gambar IV.8 merupakan hasil dari interpolasi antara *cross section* hulu dan hilir sungai.



Gambar IV.7 Letak Analisi Sungai

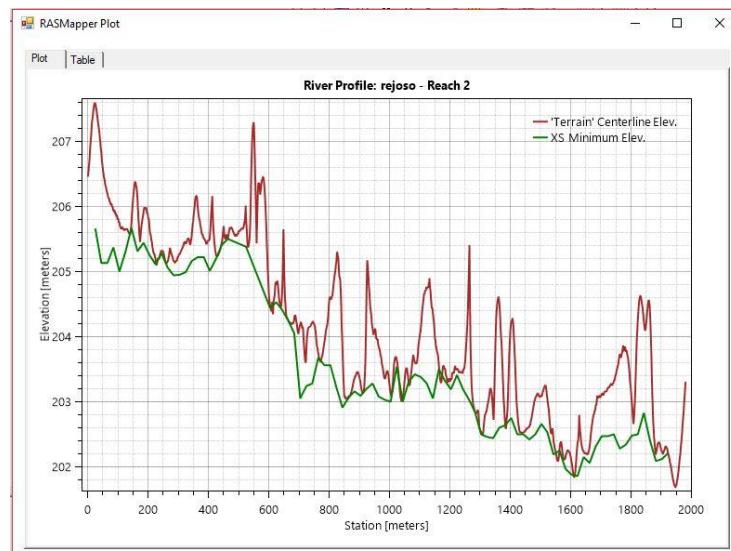
Sumber : Hasil analisa menggunakan ArcGis

Setelah mengetahui das yang akan di tinjau maka download file dem dan *convert dem to raster* dan *input* ke dalam Hecras sebagai berikut.



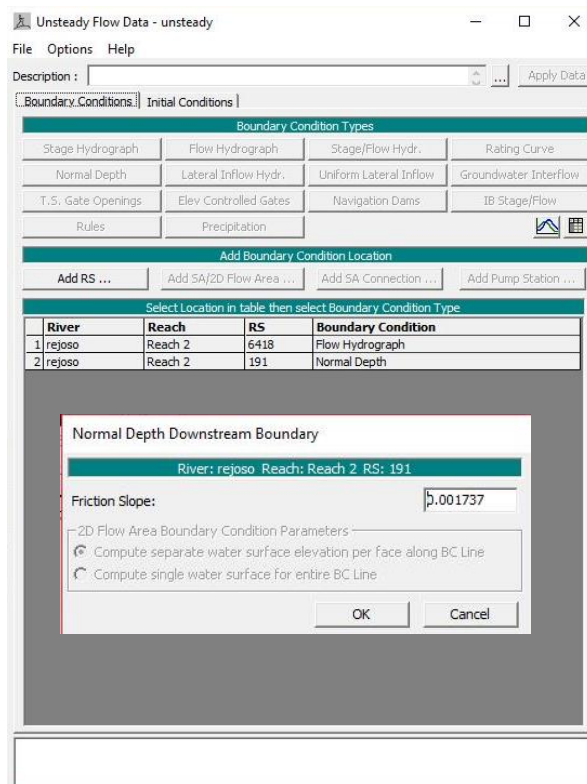
Gambar IV.8 Geometri dan *cross section* Sungai Rejoso

Berikut merupakan gambar kurva elevasi penampang memanjang dari sungai Rejoso pada gambar IV.9.



Gambar IV.9 Kurva Penampang memanjang Sungai Rejoso

Tipe aliran yang di pilih *unsteady flow* dimana kondisi alirannya berubah-ubah dengan waktu dan penampang. Input dari jenis kedalaman *downstream Boundary* dipilih *kondisi flow hydrograph* dan *normal depth* karena tidak ada bendung atau bangunan penghalang saluran.



Gambar IV.10 Unsteady flow input data

Sumber : Screenshot di aplikasi Hecras

Untuk mengisi *slope normal depth* diperhitungkan sebagai berikut.

Diketahui :

$$h(\text{hulu}) = 205.69 \text{ m}$$

$$h(\text{hilir}) = 202.25 \text{ m}$$

$$L = 1980\text{m}$$

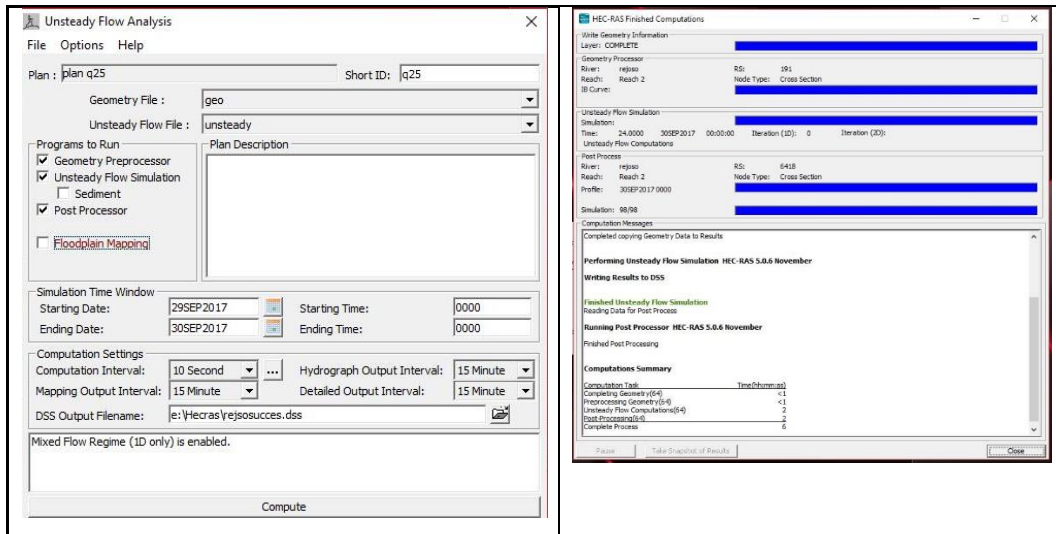
$$\text{Slope} = S = \frac{\Delta h}{L}$$

$$\Delta h = h(\text{hulu}) - h(\text{hilir})$$

Perhitungan

$$S = \frac{205.69 - 202.25}{1980}$$

$$S = 0.001737$$

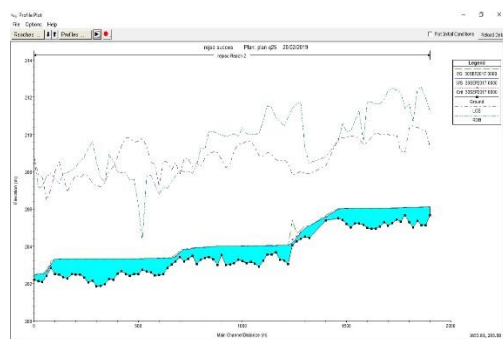


Gambar IV.11 Run analisis dan hasilnya

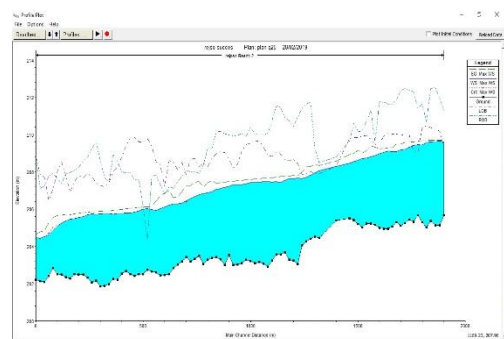
Sumber : Hasil Perhitungan

4.6.3 Hasil Analisis

Setelah berhasil *run analysis*, dapat diketahui tinggi muka air minimal dan maksimal sungai rejoso dari tampak memanjang sebagai berikut ini.

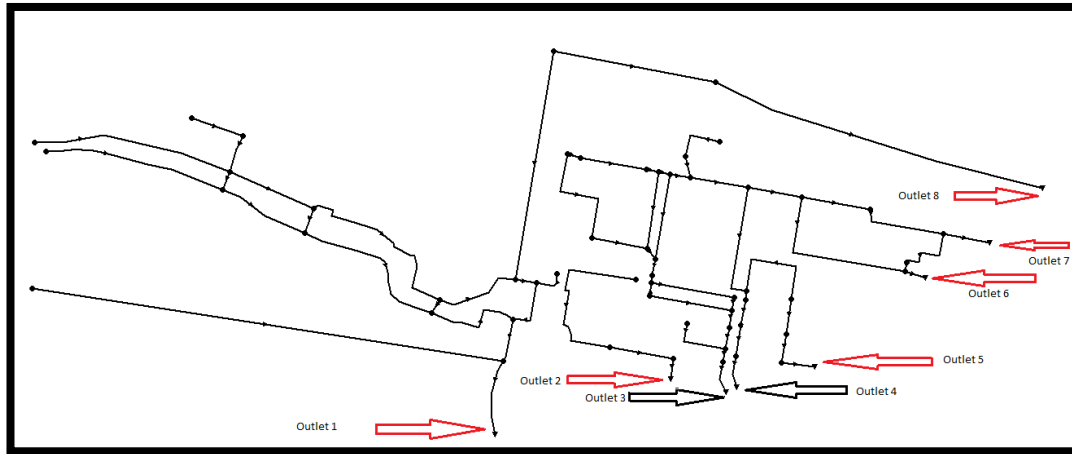


Gambar IV.12 Debit paling rendah



Gambar IV.13 Debit puncak

Setelah diketahui ketinggian air maksimumnya maka *cross section* yang dilalui *Outlet* drainase kawasan pabrik sebagai terlampir pada lampiran IV.2.



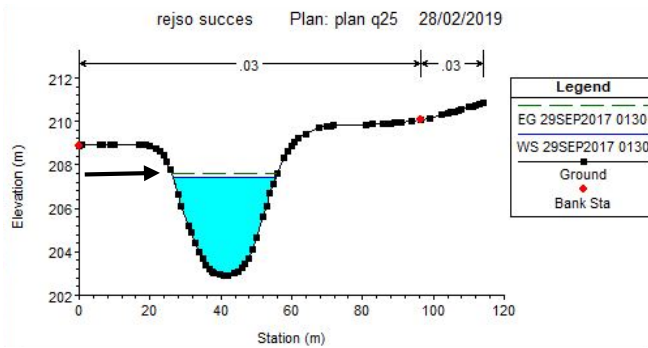
Gambar IV. 14 Outlet Drainase

Diketahui elevasi *outlet* dari kontur ialah sebagai berikut.

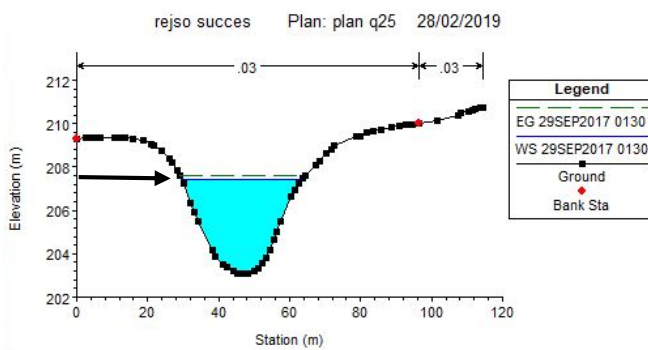
Tabel IV.21 Elevasi Outlet Drainase

| Outlet | Elevasi |
|--------|---------|
| 1 | 208,5 |
| 2 | 210 |
| 3 | 207 |
| 4 | 207,5 |
| 5 | 208,5 |
| 6 | 210 |
| 7 | 208,5 |
| 8 | 210 |

Dari jumlah *Outlet* drainase yang telah dibandingkan/dihubungkan dengan sungai maka hanya dua *Outlet* yang berdekatan permukaan air sungai rencana periode ulang 25 tahun yaitu *Outlet* 3 dan 4 yang diketahui memiliki elevasi 207 dan 207,5. Ilustrasi ujung *Outlet* 3 dan *Outlet* 4 ialah sebagai ditunjukkan dengan panah pada gambar IV.13 dan IV.14.



Gambar IV.15 Posisi outlet 3 pada cross section sungai Rejoso



Gambar IV. 16 Posisi outlet 4 pada cross section sungai Rejoso

4.5 Deskripsi Studi Lokasi

Pada peta *masterplan* lokasi studi dibagi atas beberapa daerah tangkapan air atau DTA yang akan disalurkan langsung ke sungai rejoso dimana sungai rejoso menjadi saluran pembuangan primer. Saluran tersier yang terbagi atas beberapa pengeringan bangunan seperti rumah produksi, akses jalan, lahan parkir, dll.



Gambar IV. 17 Peta masterplan pabrik RMI

Sumber : Pihak RMI

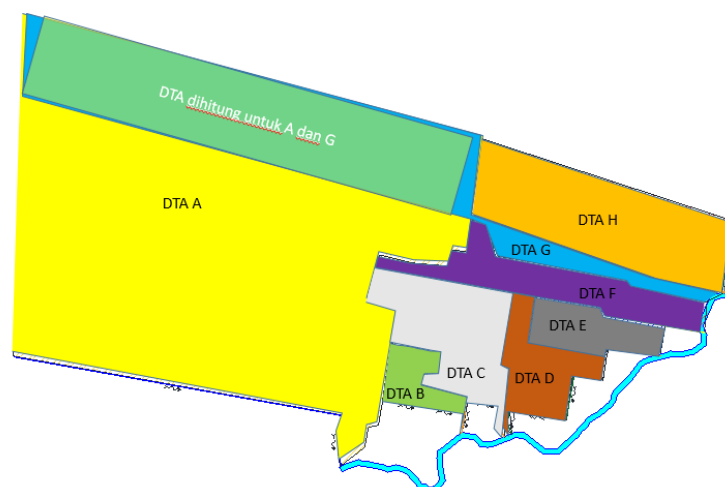
Pembagian DTA terdiri atas delapan DTA, dimana masing-masing DTA memiliki luasan (tabel IV.20) yang berbeda-beda dan terbagi atas beberapa sub-DTA dimana setiap DTA memiliki saluran tersier dan saluran sekunder. Setiap DTA akan mengarahkan aliran langsung ke sungai Rejoso.

Pembagian DTA ini bertujuan untuk mempermudah dalam pengkategorian pengeringan kawasan pabrik. Luasan dari setiap DTA dapat dilihat pada tabel IV.22 dan lokasi DTA bisa dilihat pada gambar IV.21. Khusus untuk DTA tambahan merupakan daerah perumahan yang mengalirkan air ke saluran DTA “A” dan DTA “G” yang dapat berpengaruh pada tambahan debit di DTA “A” dan “G”.



Gambar IV. 18 Peta Citra Kawasan Pabrik RMI

Sumber : Google Earth ©2019



Gambar IV. 19 Pembagian DTA pabrik RMI

Sumber : Pihak RMI

Luasan dari setiap Daerah Tangkapan Air pada pabrik RMI ini ialah sebagai berikut.

Tabel IV.22 Luas per DTA pabrik Gula Rejoso

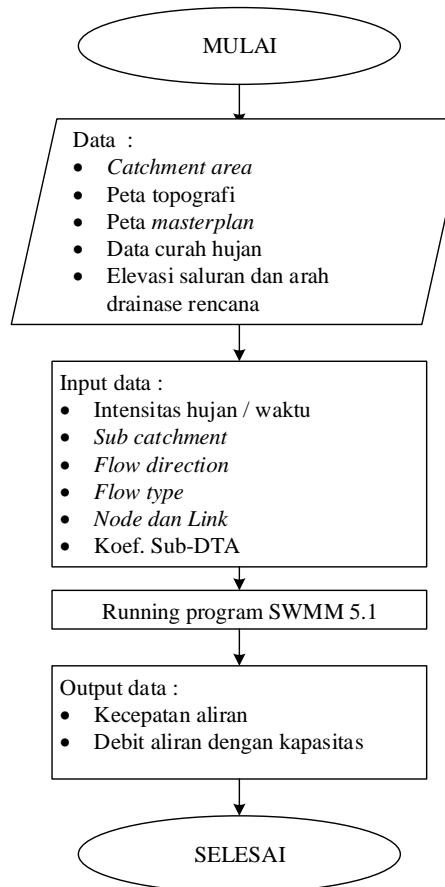
| DTA | Luas (m ²) |
|-------|------------------------|
| A | 417,070 |
| B | 11,043 |
| C | 38,567 |
| D | 20,497 |
| E | 16,490 |
| F | 31,625 |
| G | 138,307 |
| H | 62,310 |
| Total | 735,909 |

Sumber: Pihak RMI

4.6 Pemodelan Drainase Dengan SWMM 5.1

4.6.1 Tinjauan Umum

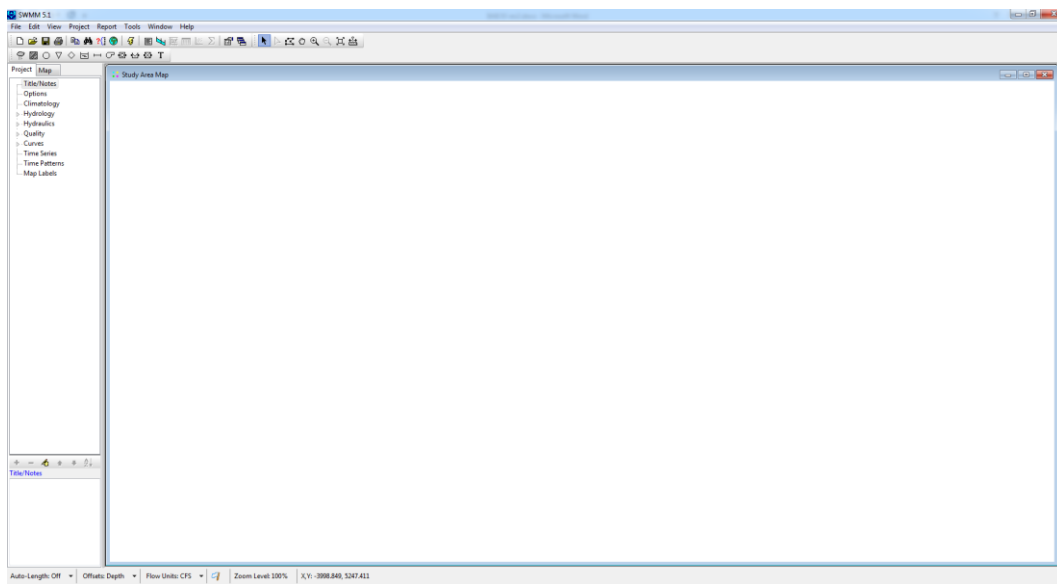
Storm Water Management Model – EPA (EPA-SWMM) adalah model simulasi limpasan hujan dinamis yang digunakan untuk simulasi kejadian tunggal atau jangka panjang (berkelanjutan) kuantitas dan kualitas limpasan dari daerah perkotaan. Komponen limpasan dari SWMM beroprasi pada kumpulan daerah *sub catchment* yang menerima hujan dan menghasilkan limpasan dan beban polutan (Modul EPA SWMM 5.1 ver.indonesia). Dalam memodelkan drainase SWMM memiliki beberapa tahapan penggerjaan yaitu input data, proses dan output data yang terdapat pada gambar IV.17



Gambar IV. 20 Diagram alur simulasi dengan SWMM

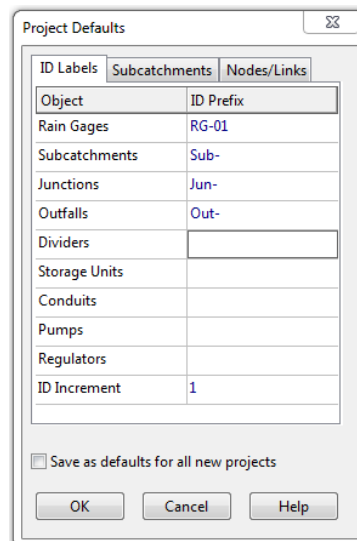
4.6.2 Tahapan Awal

Dalam tahapannya SWMM pada umumnya hampir sama fungsinya seperti Autodesk AutoCad Civil 3D Storm and Sanitary Analysis namun yang membedakan ialah civil 3d support dengan file Shp pada autocad. Berikut ini merupakan gambar tampilan utama SWMM 5.0.



Gambar IV. 21 Tampilan awal SWMM 5.1

Sumber: Screenshot pada Software SWMM 5.1



Gambar IV. 22 Default project

Sumber: Screenshot pada Software SWMM 5.1

Hal yang pertama yang harus diperhatikan ialah default yang berada pada menu project kemudian Default. Penulis menggunakan ID object sebagai berikut.

1. Rain Gage dengan “RG-”
2. Sub catchment dengan “Sub-”
3. Junction dengan “Jun-”
4. Outlet dengan “Out-”

ID Increment = “1”. Nilai ini akan menjadi interval setiap input element.

4.6.3 Input Data

Input data dalam analisis ini ialah sebagai berikut.

1. Distribusi hujan dari persentase

Dalam SWMM terdapat featur untuk mengatur data hujan yang akan di input yaitu time series yang dimana isinya ialah data persentase hujan selama selama 6 jam atau hujan efektif di wilayah tersebut .

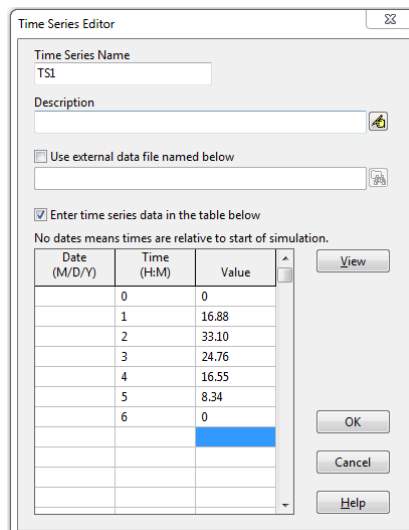
2. Peta masterplan yang telah di digitasi

Peta yang diinputkan ke dalam SWMM merupakan peta yang telah di digitasi sebelumnya dalam ArcGis agar SWMM dapat membaca kordinat dari tiap pixel gambar tersebut.

Tabel IV.23 Data curah hujan 6 jam

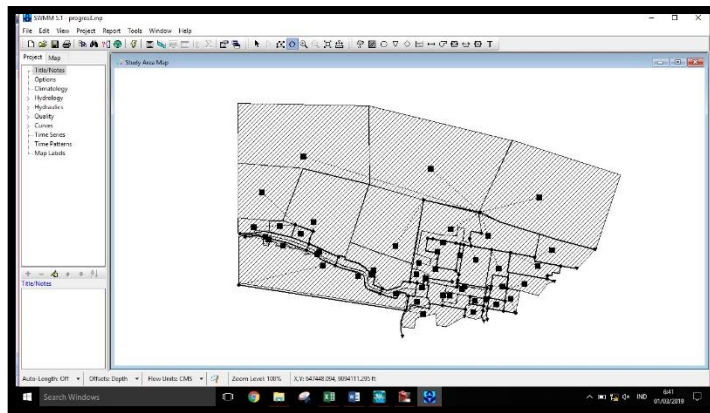
| Periode ulang | Curah hujan | Nisbah Jam ke- (%) | | | | | | Jam ke- | | | | | |
|---------------|-------------|--------------------|-----|-----|-----|----|----|---------|-------|-------|-------|------|------|
| | | 1 | 2 | 3 | 4 | 5 | 6 | 1 | 2 | 3 | 4 | 5 | 6 |
| 2 | 90,40 | 17% | 33% | 25% | 17% | 8% | 0% | 0,00 | 30,13 | 22,54 | 15,07 | 7,59 | 0,00 |
| 5 | 99,31 | 17% | 33% | 25% | 17% | 8% | 0% | 16,88 | 33,10 | 24,76 | 16,55 | 8,34 | 0,00 |
| 10 | 103,98 | 17% | 33% | 25% | 17% | 8% | 0% | 16,88 | 34,66 | 25,93 | 17,33 | 8,73 | 0,00 |
| 25 | 107,79 | 17% | 33% | 25% | 17% | 8% | 0% | 16,88 | 35,93 | 26,88 | 17,97 | 9,05 | 0,00 |
| 50 | 112,14 | 17% | 33% | 25% | 17% | 8% | 0% | 16,88 | 37,38 | 27,96 | 18,69 | 9,42 | 0,00 |
| 100 | 115,11 | 17% | 33% | 25% | 17% | 8% | 0% | 16,88 | 38,37 | 28,70 | 19,19 | 9,67 | 0,00 |

Sumber: Hasil perhitungan



Gambar IV. 23 Input Time Series

Sumber: Hasil potongan Screenshot



Gambar IV. 24 Pembagian SubDTA Kawasan Industri

Sumber: Hasil potongan Screenshoot

Setelah pembagian subDTA langkah selanjutnya pendefinisian subDTA. Input define pada sub DTA bisa dilihat pada gambar IV.22.

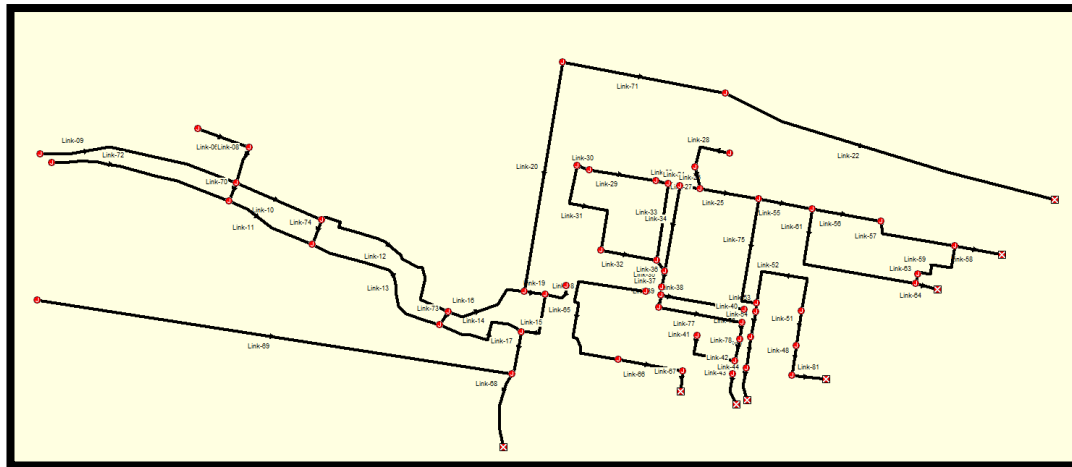
| Subcatchment Sub-44 | |
|---------------------------|--------------|
| Property | Value |
| Tag | RG-01 |
| Outlet | Jun-20 |
| Area | 15.868189 |
| Width | 150 |
| % Slope | 0.5 |
| % Imperv | 25 |
| N-Imperv | 0.3 |
| N-Perv | 0.1 |
| Dstore-Imperv | 2.00 |
| Dstore-Perv | 5.00 |
| %Zero-Imperv | 25 |
| Subarea Routing | OUTLET |
| Percent Routed | 100 |
| Infiltration Data | CURVE_NUMBER |
| Groundwater | NO |
| Area of subcatchment (ha) | |

Gambar IV. 25 Define Subcatchment

Sumber: Hasil potongan Screenshoot

Curve number merupakan nilai yang telah di tentukan oleh *SCS Curve Number* sesuai dengan parameter kelas tanah dan jenis tutupan lahan. Nilai tersebut terdapat pada lampiran IV.2.

Saluran (link) yang di inputkan merupakan hubungan antara *junction* ke *juction* atau *junction* ke *outfall/outlet*. Adapun ID atau nama link bisa dilihat pada gambar IV.26



Gambar IV. 26 Link saluran drainase

4.6.4 Desain Drainase

Dalam merencanakan desain drainase perlu diperhatikan kebutuhan drainase dan kondisi di lapangan seperti kontur permukaan tanah, koefisien pengaliran, dan intensitas hujan yang dan T_c atau *Time concentration* permukaan. Penentuan penampang basah saluran optimal ditujukan untuk mendapatkan air yang diliwatkan maksimum (Q_{maks}) dan kecepatan mencukupi untuk mengalirkan air limpasan ke pembuangan (Tabel IV.23).

Tabel IV.24 Izin kecepatan rencana (maximum)

| Jenis Bahan | Kecepatan aliran yang diizinkan (m/s) |
|--------------------|---------------------------------------|
| Tanah | 0.7 |
| Pasangan batu kali | 2 |
| Beton | 3 |

Sumber: Lampiran 11 Kepmen PU No.12-PRT-M-2014

4.6.5 Pemilihan Tipe dan Bahan saluran

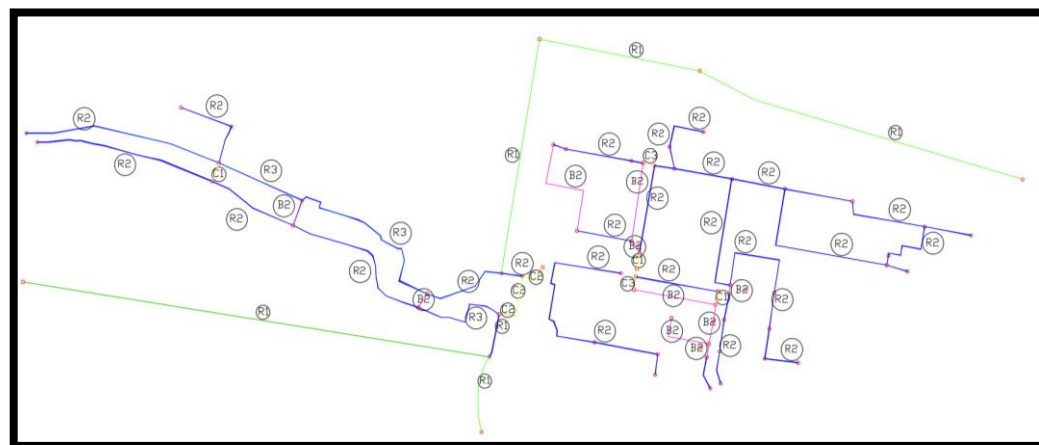
Dalam pemilihan bahan perkerasan dan tipe penampang saluran penulis menggunakan parameter metode perbandingan terlampir pada lampiran IV.3. Dengan penilaian utama sebagai berikut.

1. Waktu pembuatan
2. Biaya
3. Mutu/kualitas

Dari hasil penilaian penulis menggunakan tipe saluran trapesium dan persegi dimana kapasitas dan kecepatan dinilai baik untuk mengalirkan di saluran terbuka. Untuk saluran tertutup penulis menggunakan *box culvert* dan lingkaran karena lebih efektif dan tersedia dalam *precast*.

4.6.6 Penggunaan Desain Tipe Saluran

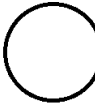
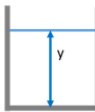
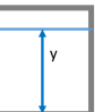
Penggunaan tipe saluran yang di desain merupakan hasil pertimbangan kelebihan dan kekurangan masing-masing yang terdapat pada lampiran IV.3 dan hasil dari pertimbangan tersebut penulis menyarankan menggunakan bahan beton untuk setiap saluran karena bisa menampung dan memiliki batas maksimum kecepatan lebih dari bahan lainnya.



Gambar IV. 27 Tipe saluran yang digunakan

Sumber: potongan screenshot

Tabel IV.25 Tipe Saluran yang digunakan

| No | Tipe saluran | Bentuk | Simbol | Dimensi |
|----|-----------------|--|--------|------------------------------|
| 1 | Lingkaran |  | C1 | Diameter: 1,5m |
| | | | C2 | Diameter: 1,5m |
| | | | C3 | Diameter: 1m |
| 2 | Persegi panjang |  | R1 | Lebar: 2m Tinggi: 1m |
| | | | R2 | Lebar: 1,5m Tinggi: 0,75m |
| | | | R3 | Lebar: 1m Tinggi: 0,5m |
| 3 | Box culvert |  | B1 | Lebar: 1m Tinggi: 1m |

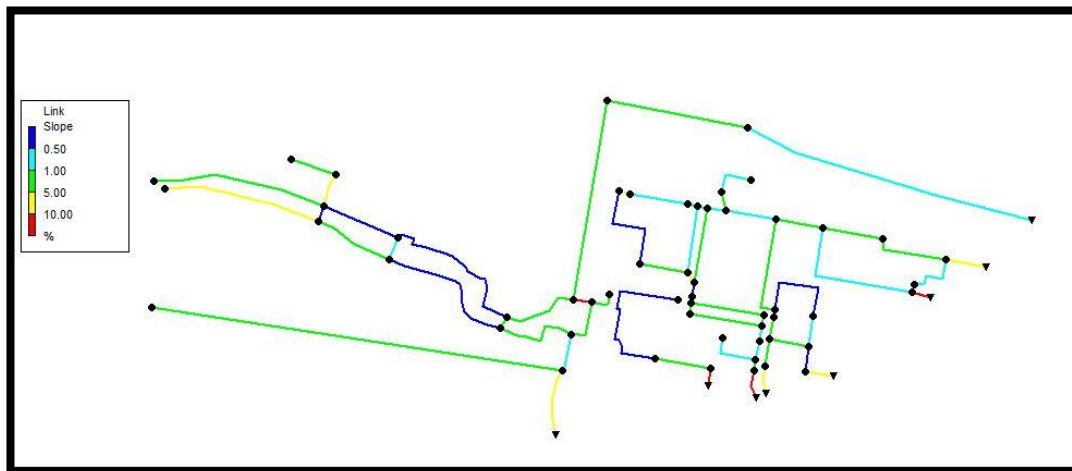
4.6.7 Analisis Kemiringan (Slope)

Kemiringan atau slope dapat mempengaruhi dari kecepatan aliran air (V) dan tentunya debit (Q) dimana jika nilai slope tinggi maka kecepatan akan bertambah dan akan berdampak pada gerusan atau erosi penampang sehingga penampang perlu *maintenance* lebih agar penampang dapat mengalirkan air secara optimal. Pada kawasan pabrik RMI sendiri kategori slope pada saluran bisa dilihat gambar IV.25.

Disamping itu pula jika desain penampang dengan nilai *slope* rendah akan mengakibatkan debit layan atau kapasitas saluran menurun sehingga perlu rekayasa pada saluran.

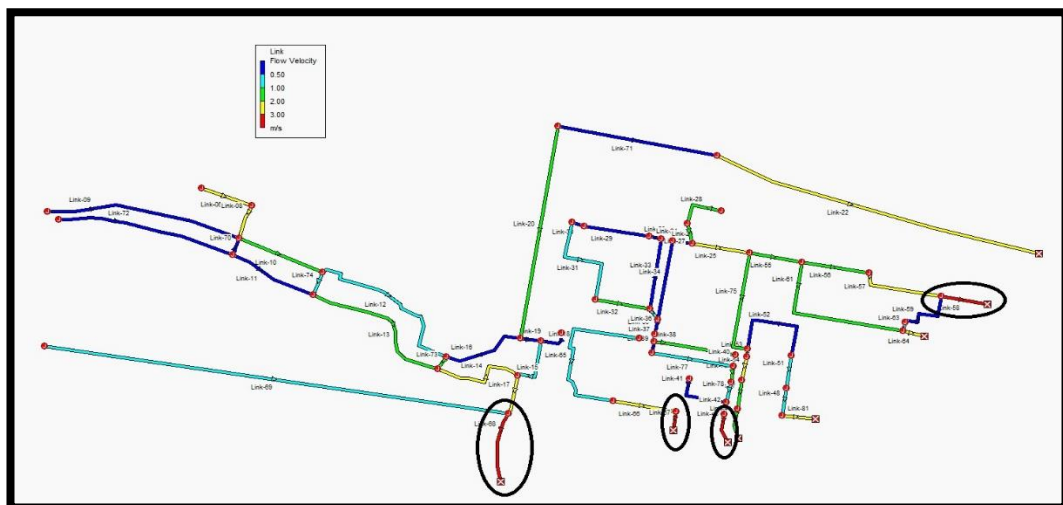
Rekayasa yang digunakan ialah pematah arus, tujuan utamanya ialah agar dengan ukuran penampang yang sama dan nilai slope yang sama namun minim akan gerusan. Pada pabrik RMI sendiri perlu adanya rekayasa saluran ini dengan

pematah arus pada link/saluran zona tertentu yang memiliki kecepatan aliran >3m/s pada gambar IV.26.



Gambar IV. 28 Slope saluran

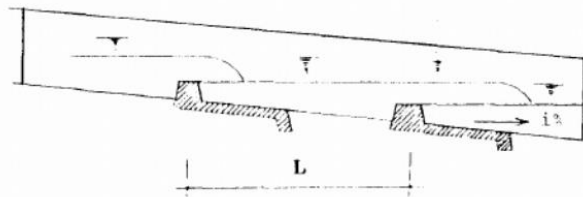
Sumber: hasil analisis dengan SWMM



Gambar IV. 29 Kecepatan aliran

Sumber: hasil analisis dengan SWMM

Dari gambar IV.26 terlihat setiap *Outlet* berwarna merah yakni link 68, 67, 43 dan 58 artinya mengalami kecepatan kritis atau lebih dari 3 m/s, saluran harus menggunakan pematah arus karena berpengaruh terhadap kecepatan aliran (gambar IV.24). pematah arus yang digunakan ialah menggunakan L per 6 m sesuai peraturan pada petunjuk desain drainase permukaan jalan (gambar IV.26)

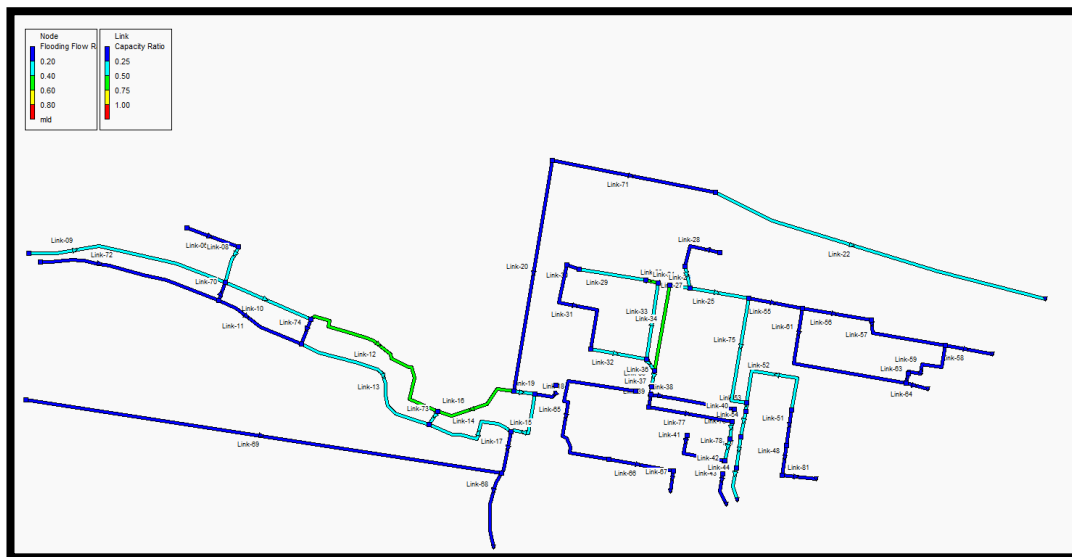


Gambar IV. 30 Pematah arus

Sumber: Petunjuk Drainase permukaan jalan no.008/T/BNKT/1990

4.6.8 Kapasitas Saluran Terhadap Aliran

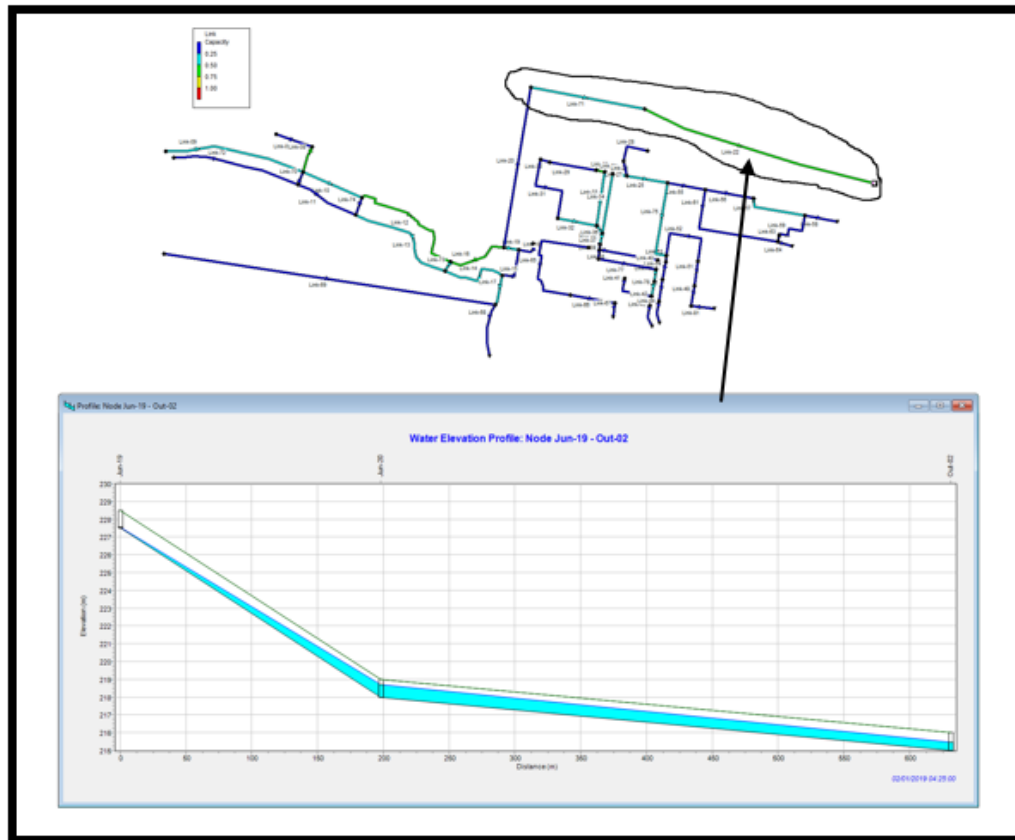
Setelah melakukan pemilihan tipe dan bahan saluran kemudian diterapkan pada tiap *link* maka analisis selanjutnya ialah analisis kapasitas dan banjir, dimana debit air berasal dari limpasan tiap sub-sub DTA.



Gambar IV. 31 Hasil analisis kapasitas

Sumber: Hasil Analisis menggunakan SWMM 5.1

Terlihat bahwa setiap saluran tidak ada saluran yang airmnya melebihi kapasitas saluran, artinya air tidak akan meluap keluar dari saluran dan setiap *juction* tidak terdapat point yang menunjukkan *flooding* atau banjir. Contoh aliran terhadap kapasitas ialah sebagai berikut.



Gambar IV.32 Sample penampang memanjang drainase

4.7 Hasil Akhir

Dari hasil analisis didapat bahwa :

1. Hasil analisis intensitas hujan tertinggi di dapat dengan kedalaman hujan 37,37 mm pada jam pertama di periode ulang 25 tahun.
2. Hasil analisis penampang persegi dengan ukuran 1,5, 1 dan 0,5 cukup optimal dalam menampung aliran air limpasan permukaan tanpa adanya luapan air berlebih.
3. *Backwater* atau aliran balik tidak terjadi pada saluran menuju outfall karena outfall berada pada elevasi di atas permukaan air sungai pada periode ulang 25 tahun.
4. Pematah arus diperlukan pada saluran/link 67, 68, 43 dan 58 dimana ketiganya memiliki kecepatan aliran >3 m/s.